

ارزیابی آسیب پذیری کیفی آبخوان دشت بیرجند به روش SINTACS

میین افتخاری^{۱*}؛ محمد اکبری^۲ و عباسعلی قزل سوکلو^۳

۱- عضو باشگاه پژوهشگران جوان و نخبگان، واحد مشهد، دانشگاه آزاد اسلامی، مشهد، ایران

۲- استادیار گروه مهندسی عمران، دانشگاه بیرجند، بیرجند، ایران

۳- استادیار گروه مهندسی عمران، واحد مشهد، دانشگاه آزاد اسلامی، مشهد، ایران

(تاریخ دریافت ۹۷/۱۰/۱۷ - تاریخ پذیرش ۹۸/۰۱/۱۰)

چکیده:

با توجه به اهمیت منابع آب های زیرزمینی و بحران کم آبی در ایران باید توجه بسیار زیادی به این منابع شود. یکی از چالش ها در این خصوص آلوده شدن این منابع است، لذا با بررسی های مناسب باید مناطقی که تحت تأثیر آلودگی قرار دارند شناسایی شده و برای رفع آلودگی اقدامات لازم صورت گیرد. در بسیاری از موارد، آلودگی آب های زیرزمینی بعد از آلوده شدن چاه های آب شرب شناسایی می شوند. شناسایی مناطق آسیب پذیر آبخوان می تواند زمینه ساز اقدامات هدفمند پیشگیرانه از آلودگی آب های زیرزمینی گردد. روش های مختلفی برای ارزیابی آسیب پذیری ارائه شده است که یکی از پر استفاده ترین و شناخته شده ترین روش های شاخص همپوشانی به عنوان مدل SINTACS در این تحقیق مورد استفاده قرار گرفت. هدف از این مطالعه ارزیابی آسیب پذیری کیفی آبخوان دشت بیرجند با استفاده از مدل SINTACS در دوره آماری سالهای ۹۵ تا ۹۶ می باشد. بر اساس نتایج این ارزیابی نقشه پنهانی بندی آسیب پذیری SINTACS نشان می دهد که ۱۲/۸۱ درصد از مساحت منطقه مطالعاتی دارای آسیب پذیری در محدوده متوسط تا زیاد، ۸۰/۴۷ درصد از مساحت منطقه دارای آسیب پذیری زیاد و ۶/۷۱ درصد از مساحت منطقه دارای آسیب پذیری خیلی زیاد می باشد. جهت صحت سنجی مدل SINTACS به بررسی ارتباط بین شاخص آسیب پذیری و مقادیر غلظت نیترات بدست آمده از ۲۱ نمونه آب زیرزمینی پرداخته شده است. ضریب همبستگی بدست آمده بین شاخص آسیب پذیری SINTACS و غلظت نیترات ۷۱ درصد به دست آمده است که نشان دهنده همبستگی مناسب این مدل با غلظت نیترات به عنوان شاخص آلودگی آبهای زیرزمینی است.

کلید واژگان: آب زیرزمینی، آلودگی، سامانه اطلاعات جغرافیایی، نیترات، SINTACS

۱. مقدمه

خاک^۷ ، محیط آبخوان^۸ ، هدایت هیدرولیکی^۹ و توپوگرافی^{۱۰} می باشد. این مدل یک روش هم پوشان است که در آن اطلاعات بدست آمده از پارامترهای مختلف به صورت تلفیقی مورد تجزیه و تحلیل قرار می گیرد و سپس توسط سامانه سیستم اطلاعات جغرافیایی مورد پردازش قرار می گیرد (Civita, SINTACS ۱۹۹۴). یکی از مزیت های اصلی مدل انجام ارزیابی آسیب پذیری با استفاده از تعداد زیادی لایه های اطلاعاتی است که تأثیر خطاها و یا عوامل نامعلوم را بر روی خروجی نهایی محدود می کند. Pisciotta و همکاران (۲۰۱۵) به منظور ارزیابی آسیب پذیری ذاتی در برابر خطر آلودگی نیترات در آب های زیرزمینی و مقایسه اثرات زیست محیطی Sicily توسعه کشاورزی بیش از حد در منطقه مدیترانه DRASTIC و SINTACS واقع در ایتالیا از دو روش استفاده کردند. مقادیر غلظت نیترات به دست آمده با مقادیر DRASTIC و SINTACS به روش همبستگی پیرسون مقایسه شد؛ و نتایج گویای این بود که روش SINTACS همبستگی بیشتری با مقادیر نیترات دارد.

Qadir و همکاران (۲۰۱۶) با استفاده از مدل SINTACS توانستند ارزیابی از آسیب پذیری آبخوان دشت سلیمانیه واقع در استان کردستان عراق داشته باشند. نتایج این مدل با استفاده از داده های ۹۶ حلقه چاه آب شرب واقع در دشت نشان دهنده همبستگی بالای مدل مذکور و مقدار نیترات واقع در دشت

مفهوم آسیب پذیری اولین بار در سال ۱۹۶۰ میلادی در کشور فرانسه مطرح شد. آسیب پذیری را می توان به عنوان امکان نفوذ و پخشیدگی آلاینده ها از سطح زمین به آب زیرزمینی تعریف کرد (Vrba *et al.*, 1994). آسیب پذیری نوعی خصوصیت نسبی بدون بو و غیر قابل اندازه گیری است و به ویژگی های آبخوان محیط زمین شناسی و هیدرولوژی بستگی دارد (Antonakos *et al.*, 2007). روش های مختلفی برای ارزیابی آسیب پذیری ارائه شده است که می توان به روش های پردازشی^۱، همپوشانی^۲ و آماری^۳ اشاره کرد (Tesoriero *et al.*, 1998). روش های پردازشی از مدل های شبیه سازی برای تخمین حرکت آلاینده استفاده می کنند. روش های آماری از روابط همبستگی بین متغیرهای مکانی و میزان آلاینده های موجود در آب زیرزمینی استفاده می کند؛ و همچنین روش های همپوشانی پارامترهای کنترل کننده حرکت آلاینده ها از سطح زمین به منطقه اشباع را تلفیق کرده و شاخصی به نام شاخص آسیب پذیری را در نقاط مختلف یک منطقه تعیین می کند (Tesoriero *et al.*, 1998). یکی از پر استفاده ترین و شناخته شده ترین روش های شاخص همپوشانی مدل SINTACS می باشد (Civita, 1994)؛ که شامل پارامترهای عمق آب زیرزمینی^۴ ، تغذیه خالص^۵ ، محیط غیر اشباع^۶ ، جنس

-
- 7 - Typology of Overburden
 - 8 - Hydrogeological characteristics of the Aquifer
 - 9 - Hydraulic Conductivity
 - 10 - Slope of the topographic

- 1 - Processing Methods
- 2 - Overlapping Methods
- 3 - Statistical Methods
- 4 - Soggiacence
- 5 - Actual Infiltration
- 6 - Non saturated Zone

۲. مواد و روش ها

منطقه مورد مطالعه، دشت بیرجند می باشد که در قسمت شمالی ارتفاعات باقران با مختصات ۵۹ درجه و ۱۳ دقیقه طول جغرافیایی و ۳۲ درجه و ۵۳ دقیقه عرض جغرافیایی قرار گرفته است. شکل این دشت بصورت مستطیل بوده که از شمال به ارتفاعات مولی، مارکوه و از جنوب به ارتفاعات باقران، و کوه رچ، از شرق به کوه بندر و امین آباد و از غرب به ارتفاعات کرنگ و چنگ محدود می شود؛ و در بخش مرکزی آن، آبخوان آبرفتی تشکیل شده است (شکل ۱). وسعت کل حوضه آبریز دشت بیرجند در حدود ۳۴۲۵ کیلومترمربع بوده که از این میزان حدود ۹۸۰ کیلومترمربع را دشت و مابقی را ارتفاعات تشکیل می دهد. متوسط بارش در این حوزه نزدیک به ۱۷۰ میلیمتر در سال بوده و حداقل و حداقل ارتفاع دشت بیرجند از سطح دریا ۱۴۹۱ و ۱۲۹۵ متر می باشد.

۲.۰.۲ مدل SINTACS

این مدل توسط Civita در سال ۱۹۹۶ میلادی به منظور ارزیابی قابلیت آسیب پذیری آلودگی نسبی آب های زیرزمینی با استفاده از هفت پارامتر هیدروژئولوژیکی به کار گرفته شده است. در این روش شاخص آسیب پذیری از مجموع حاصل ضرب وزن و رتبه هفت پارامتر یادشده، مطابق رابطه ۱ به دست می آید. کلاسه بندی و ارزش گذاری کلاس های GIS مختلف مربوط به هر کدام از پارامترها در محیط انجام می شود. به هر کدام از مشخصه ها با توجه به اهمیت تاثیر در آلودگی سیستم آب زیرزمینی یک وزن نسبی از ۱ تا ۵ تعلق میگیرد که نشان دهنده طریق

سلیمانیه می باشد. Ewusi و همکاران (۲۰۱۷) به ارزیابی آسیب پذیری آبخوان شهر ترکا واقع در کشور غنا با استفاده از مدل SINTACS پرداختند.

نتایج این تحقیق نشان داد با توجه به وجود معدن و فعالیت های صنعتی واقع در آبخوان مورد مطالعه بالای ۵۰ درصد مساحت آبخوان دارای آسیب پذیری بالا بوده و همچنین طی تحلیل حساسیت های پارامترهای موجود در آبخوان، عمق تا سطح ایستابی و ضریب هدایت هیدرولیکی تأثیر مهمی در آسیب پذیری آبخوان داشته است. Mastrocicco و همکاران (۲۰۱۷) با استفاده از مدل SINTACS نسبت به تهیه نقشه آسیب پذیری دشت کمپانی واقع در جنوب کشور ایتالیا اقدام کردند. نتایج نشان داد به دلیل وجود زمین های کشاورزی با مساحت بسیار و استفاده زیاد از کودهای ازت و نیتروژنی جهت بهره وری بیشتر از محصولات کشاورزی آسیب پذیری، درصد بالای از منطقه در حد وسیع بود و نیاز به روشنی جهت کنترل کودهای شیمیایی توسط کشاورزان می باشد. در این پژوهش با استفاده از روش SINTACS که دارای بیشترین پارامتر هیدروژئولوژی نسبت به سایر روش های همپوشانی می باشد استفاده شده است. با توجه به اینکه دشت بیرجند از دشت های مهم استان خراسان جنوبی به شمار می رود، این دشت برای مطالعه انتخاب گردیده است. علاوه بر شناخت وضعیت آسیب پذیری آبخوان دشت بیرجند نسبت به آلودگی در خصوص پارامترهای تاثیرگذار بر آسیب پذیری آبخوان دشت مذکور جهت مدیریت کیفی منابع آب زیرزمینی نیز بررسی لازم صورت گرفت.

محیط آبخوان، C هدایت هیدرولیکی، Sv توبوگرافی، W وزن و r رتبه مربوط به هر کدام از پارامترهای مدل می‌باشد. در جدول شماره ۱ وزن‌ها و رتبه‌های مربوط به مدل SINTACS ملاحظه می‌شود. همچنین در شکل ۲ وزن‌ها و رتبه‌های موجود موثر در تهیه نقشه آسیب پذیری کیفی آبخوان دشت بیرجند به روش SINTACS نیز ارائه شده است.

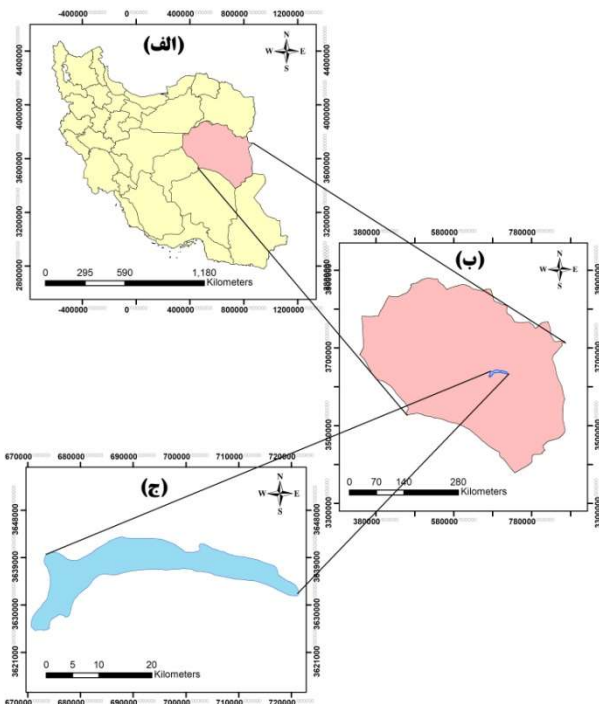
نسبی هر مشخصه بر انتقال آلودگی در آب‌های زیرزمینی است (Civita, 1994). در این مدل به بازه‌های هر یک از مشخصه‌های هیدرولوژیک نیز یک رتبه از ۱ تا ۱۰ بر اساس تاثیر آنها بر آسیب پذیری اختصاص داده می‌شود و به کاربر این امکان را می‌دهد که مدل SINTACS را با ناحیه مورد مطالعه استفاده قرار دهد (Civita, 1994).

(۱)

SINTACS-

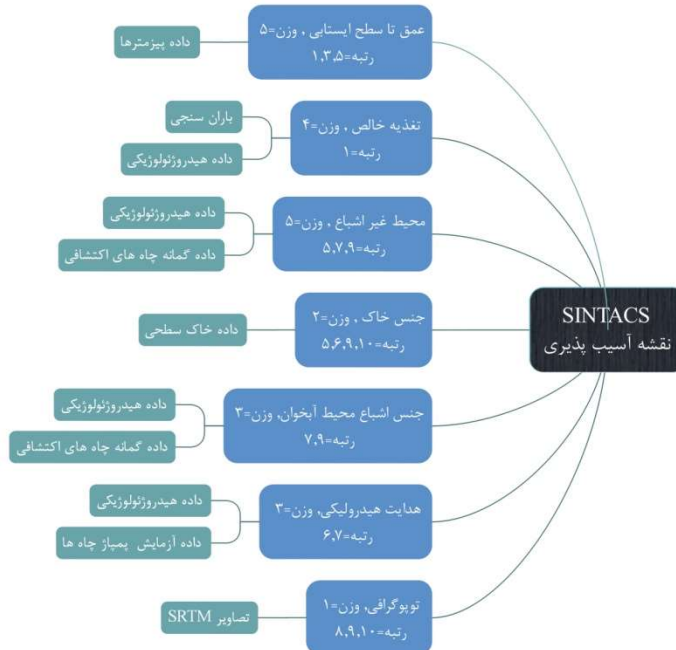
$$\text{Index} = S_{Or}S_{Ow} + I_rI_w + N_rN_w + T_rT_w + A_rA_w + C_rC_w + S_{Vr}S_{Vw}$$

که در این رابطه S_O عمق آب زیرزمینی، I تغذیه خالص، N محیط غیراشباع، T جنس خاک، A جنس



شکل ۱- موقعیت کلی دشت بیرجند. (الف) ایران (ب) استان خراسان جنوبی (ج) آبخوان دشت بیرجند

ارزیابی آسیب پذیری کیفی آبخوان دشت بیر جند...



شكل ۲- وزن ها و رتبه های موجود موثر در تهیه نقشه آسیب پذیری کیفی آبخوان دشت بیر جند به روش SINTACS

جدول ۱- وزن ها و رتبه های مربوط به مدل SINTACS

رتبه	پارامتر	رتبه	پارامتر
	هدایت هیدرولیکی(متر) بر روز(وزن ۳)		عمق تا سطح ایستابی(متر)(وزن ۵)
۳	۰/۰۷-۰/۱	۹	۰-۳
۴	۰/۱-۰/۸۶۴	۸	۳-۵
۵	۰/۸۶۴-۴/۳۲	۷	۵-۷
۶	۴/۳۲-۸/۶۴	۶	۷-۱۰
۷	۸/۶۴-۴۳/۲	۵	۱۰-۱۳
۸	۴۳/۲-۸۶/۴	۴	۱۳-۲۰
۹	۸۶/۴-۳۶۶/۳۹	۳	۲۰-۳۰
		۲	۳۰-۳۶
		۱	>۳۶

ادامه جدول ۱- وزن ها و رتبه های مربوط به مدل SINTACS

رتبه	پارامتر	رتبه	پارامتر
	توپوگرافی/(وزن ۲)		محیط اشباع آبخوان(وزن ۳)
۱۰	۰-۳	۹	ماسه و گراول
۹	۳-۵	۷	ماسه و گراول با مقداری
۸	۵-۷		سیلت و رس
۷	۷-۱۰/۵	۳	رس و سیلت
۶	۱۰/۵-۱۳/۵		تغذیه خالص(وزن ۴)
۵	۱۳/۵-۱۶/۵	۱	۰-۵۰
۴	۱۶/۵-۱۹/۵	۳	۵۰-۱۰۰
۳	۱۹/۵-۲۳	۶	۱۰۰-۱۷۵
۲	۲۳-۲۷/۵	۸	۱۷۵-۲۵۰
۱	>۲۷/۵	۹	>۲۵۰
جنس خاک(وزن ۴)			محیط نیمه اشباع(وزن ۵)
۶	لوم		رسوبات آبرفتی ریزدانه مانند
۵	لوم ماسه ای		رس و سیلت
۹	ماسه	۵	ماسه
۱۰	شن	۷	رسوبات آبرفتی درشت دانه
		۹	مانند شن و ماسه و گراول
		۲	رس و سیلت

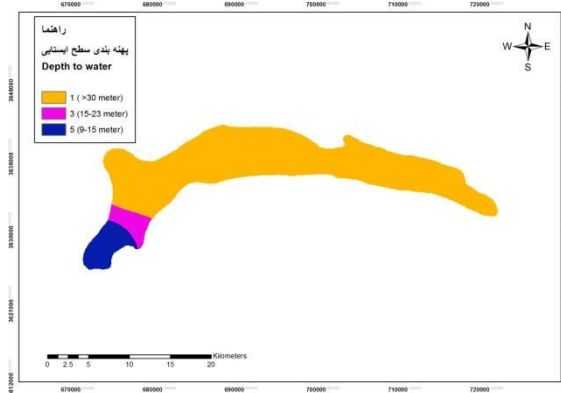
پیزومتر واقع در دشت که برای دوره یک ساله از مهر ۱۳۹۵ تا شهریور ۱۳۹۶ از طریق اداره آب منطقه ای استان خراسان جنوبی جمع آوری شده بود استفاده شد. جهت پنهان بندی عمق آب زیرزمینی از روش درونیابی کریجینگ عمومی^{۱۲} به دلیل داشتن کمترین خطای استفاده گردیده است(شکل ۳).

۲.۰.۱. عمق آب زیرزمینی

به فاصله بین سطح زمین تا سطح ایستابی، عمق آب زیرزمینی گفته می شود. به عبارت دیگر این پارامتر بیان کننده عمقی است که آلوگی باید طی کند تا به آب زیرزمینی برسد (Bartatzs *et al.*, 2015). به منظور تهیه لایه عمق تا سطح ایستابی از اطلاعات سطح آب در پیزومترها شامل نام پیزومترها، موقعیت پیزومترها بر حسب UTM و عمق سطح آب استفاده گردید. (جدول ۲) اطلاعات مورد نیاز برای تهیه این لایه از موقعیت جغرافیایی تراز سطح ایستابی و ارتفاع ۱۵

جدول ۲- موقعیت پیزومترهای واقع در آبخوان

UTM - Y	UTM - X	ردیف	UTM - Y	UTM - X	ردیف
۳۶۳۴۵۲۸	۶۷۵۷۹۵	۹	۳۶۳۸۹۷۰	۷۰۱۵۳۴	۱
۳۶۳۶۵۴۸	۷۰۵۱۰۶	۱۰	۳۶۳۹۲۷۳	۶۹۵۹۴۰	۲
۳۶۳۷۵۴۲	۶۸۸۰۵۸	۱۱	۳۶۴۰۱۱۹	۶۸۷۷۹۰	۳
۳۶۳۵۵۸۱	۷۱۱۰۱۳	۱۲	۳۶۳۸۳۸۳	۶۷۴۴۹۹	۴
۳۶۴۱۱۴۴	۶۹۴۲۳۹	۱۳	۳۶۲۹۳۶۱	۶۷۳۸۰۲	۵
۳۶۳۸۵۷۰	۶۸۱۴۵۰	۱۴	۳۶۳۸۲۲۷	۶۸۰۹۴۹	۶
۳۶۲۹۹۳۴	۶۷۵۸۰۴	۱۵	۳۶۳۸۳۰۰	۷۱۲۸۰۰	۷
			۳۶۳۷۶۹۵	۶۸۴۷۷۳	۸



شکل ۳- نقشه سطح ایستابی

۲.۰۲.۲. تغذیه خالص

$$\text{درصد شیب} + \text{میزان بارندگی} + \text{نفوذ پذیری خاک} = \text{تغذیه خالص}$$

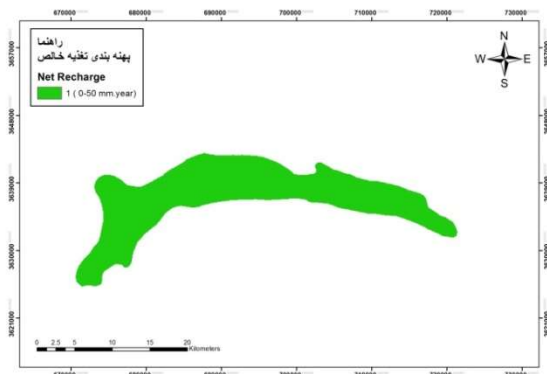
۲.۰۲.۳. محیط غیر اشباع

منطقه غیر اشباع شامل محدوده بین سطح ایستابی و محیط خاک که غیر اشباع می باشد. این محدوده اساساً غیر اشباع بوده و یا به صورت ناپیوسته اشباع می باشد و عبور آلاینده و رقیق شدن آن را کنترل می کند (Ahmadi et al., 2009).

تغذیه خالص، مقدار آبی است که از سطح زمین نفوذ می کند و خود را به سطح ایستابی می رساند. همچنین با افزایش میزان تغذیه خالص در یک منطقه، پتانسیل آلودگی آب های زیرزمینی آن منطقه افزایش خواهد یافت (Naseri et al., 2011). برای بدست آوردن لایه تغذیه خالص، ابتدا با توجه به معیارهای جدول ۳ طبقه بندی شد. سپس معادله پیسکوپو (Piscop., 2001) رابطه ۲ برای محاسبه تغذیه پتانسیل یک منطقه از استفاده می شود (شکل ۴).

جدول ۳- رتبه‌بندی تغذیه خالص

شیب (درصد)		بارش (میلیمتر)		نفوذ پذیری خاک		تغذیه خالص	
فاکتور	محدوده	فاکتور	محدوده	فاکتور	محدوده	فاکتور	محدوده
۲<	۴	۵۰۰<	۱	خیلی کم	۱	۱۳ تا ۱۱	۱۰
۱۰ تا ۲۲	۳	۷۰۰ تا ۵۰۰	۲	کم	۲	۱۱ تا ۹	۸
۳۳ تا ۱۰	۲	۸۵۰ تا ۷۰۰	۳	متوسط	۳	۹ تا ۷	۵
۳۳>	۱	۸۵۰>	۴	زیاد	۴	۷ تا ۵	۳
				خیلی زیاد	۵	۵ تا ۳	۱



شکل ۴- نقشه تغذیه خالص

پذیری، بافت و درصد مواد آلی خاک بستگی دارد (Kim., 1999). جهت تهیه پارامتر جنس خاک از نقشه استخراج شده با مقیاس ۱:۵۰۰۰۰ توسط اداره جهاد کشاورزی استان خراسان جنوبی استفاده شد و سپس برای تهیه نقشه رستری نقشه اسکن شده اولیه زمین مرجع^{۱۴} و سپس رقومی شد (شکل ۶).

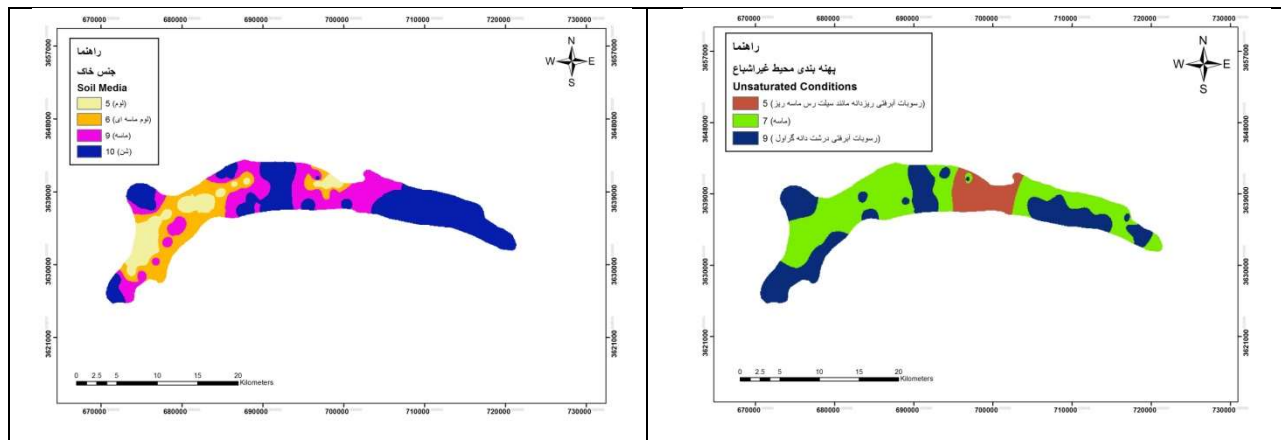
۵.۲.۲. محیط آبخوان

این بخش به خصوصیات مواد تشکیل دهنده منطقه اشبع مانند میزان تخلخل، جنس و اندازه ذرات مربوط می باشد(Brahim et al., 2012). به منظور تهیه لایه محیط آبخوان، از لاغ ۱۹ چاه مشاهده ای و بهره-

به منظور تهیه لایه محیط غیراشبع، از لاغ ۱۹ چاه مشاهده ای و بهره برداری موجود در آبخوان دشت بیرجند که از طریق اداره آب منطقه ای استان خراسان جنوبی استفاده گردید؛ توسط نرم افزار Techlog تحلیل و ارزیابی شد و جهت پهنه بندی با استفاده از روش درونیابی معکوس فاصله^{۱۳} به دلیل داشتن کمترین خط انجام شد (شکل ۵).

۴.۰.۲. جنس خاک

این بخش شامل قسمت بالایی منطقه غیر اشبع می باشد که تا حد نفوذ ریشه گیاهان یا فعالیت موجودات ارگانیکی ادامه دارد (Naseri et al., 2011). پتانسیل آلودگی آبخوان به خصوصیات خاک مانند نفوذ



شکل ۶- نقشه جنس خاک

پهنه بندی با استفاده از روش درونیابی معکوس فاصله به دلیل داشتن کمترین خطای انجام شد (شکل ۸).

۷.۲.۰ توپوگرافی

این پارامتر در واقع شیب سطح زمین است. شیب سطح زمین بر حرکت و نفوذ مواد آلاینده تأثیر می‌گذارد. هر چقدر که میزان شیب کم باشد، مدت زمان تماس آلاینده با سطح زمین افزایش می‌یابد و به دنبال آن احتمال نفوذ آن به درون زمین نیز افزایش می‌یابد. در نتیجه با کاهش شیب سطح زمین، امکان آسیب پذیری آبخوان افزایش می‌یابد (Fadaci Nobandeghani, 2014). تهیه نقشه توپوگرافی با استفاده از نقشه مدل رقومی ارتفاع (DEM) با قدرت تفکیک مکانی ۱۵ متر در نرم افزار GIS ARC تهیه شد (شکل ۹).

۳.۰.۲ نیترات

از آنجا که نیترات به طور معمول در شرایط طبیعی در آب‌های زیرزمینی وجود ندارد آن را به عنوان یک شاخص حرکت آلاینده از سطح به آب زیرزمینی بخصوص در اراضی کشاورزی در نظر می‌گیرند و به عنوان یک شاخص معیار در کیفیت آب‌های زیرزمینی پیشنهاد شده است (Huan et al., 2012).

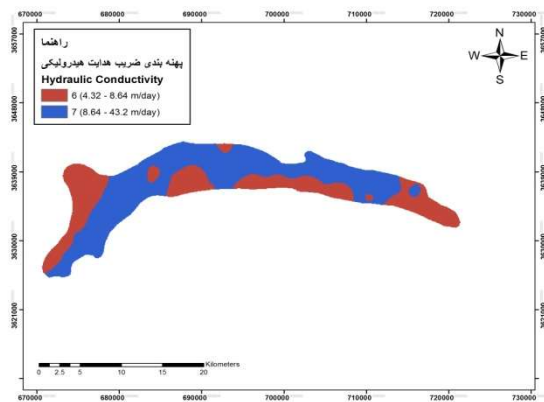
شکل ۵- نقشه محیط غیرابشاری

برداری موجود در منطقه که از طریق اداره آب منطقه ای استان خراسان جنوبی استفاده گردید؛ توسط نرم افزار Techlog تحلیل و ارزیابی شد. جهت پهنه بندی از روش درونیابی معکوس فاصله به دلیل داشتن کمترین خطای انجام شد (شکل ۷).

۷.۲.۱ هدایت هیدرولیکی

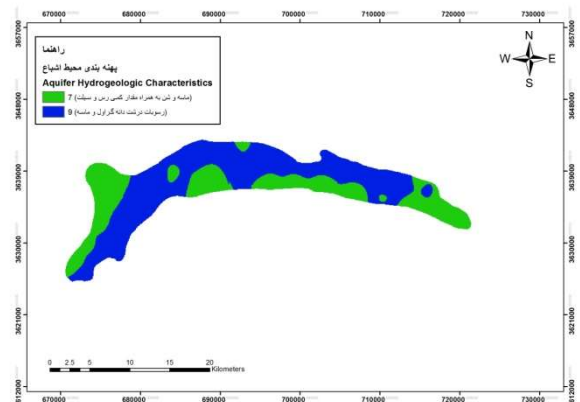
توانایی محیط آبخوان برای انتقال آب و مواد آلاینده همراه آن را هدایت هیدرولیکی می‌گویند. این پارامتر انتقال و پراکندگی آلاینده‌ها را از نقطه تزریق در داخل منطقه اشباع کنترل می‌کند (Mahmoodzadeh et al., 2013). هر چه هدایت هیدرولیکی بیشتر باشد، امکان جریان یافتن آلاینده‌ها در آبخوان بیشتر بوده و آسیب پذیرتر خواهد بود (Ahmadi et al., 2009). به منظور تهیه لایه هدایت هیدرولیکی ابتدا از داده‌های آزمایش پمپاژ که توسط سازمان آب منطقه‌ای استان خراسان جنوبی انجام شده، با استفاده از نرم افزار GWW^{۱۰} تحلیل صورت گرفت و با استفاده لایه ضریب قابلیت انتقال بدست آمده و تقسیم این لایه برضخامت اشباع آبخوان لایه هدایت هیدرولیکی بدست می‌آید.

چاه های مشاهده ای واقع در آبخوان در شکل ۱۰ مشخص می باشد. جهت پنهانه بندی با استفاده از روش درونیابی معکوس فاصله به دلیل داشتن کمترین خط انجام شد(شکل ۱۱).

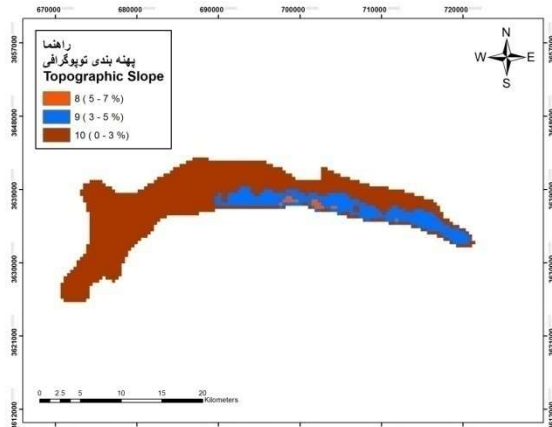


شکل ۸- نقشه هدایت هیدرولیکی

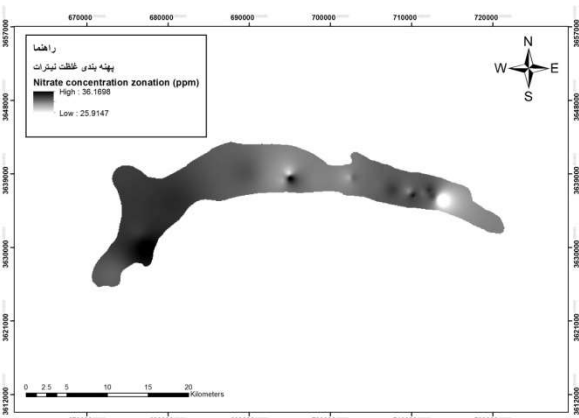
در این تحقیق از مقادیر نیترات ۲۱ حلقه چاه واقع در آبخوان دشت بیرجند که از طریق داده های آزمایشگاه کیفی اداره آب و فاضلاب شهرستان بیرجند در تاریخ تیرماه ۱۳۹۶ تهیه شده است؛ که موقعیت



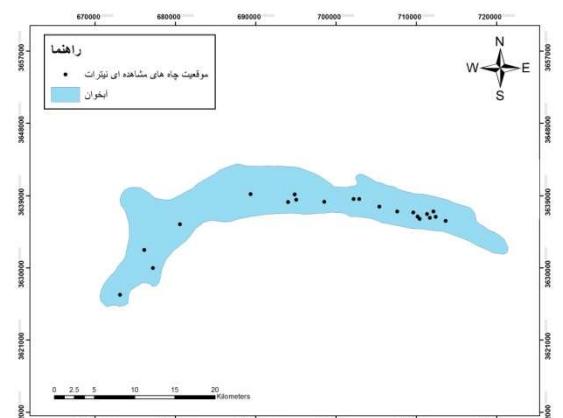
شکل ۷- نقشه جنس آبخوان



شکل ۹- نقشه پهنه بندی توپوگرافی



شکل ۱۱- نقشه پهنه بندی غلظت نیترات

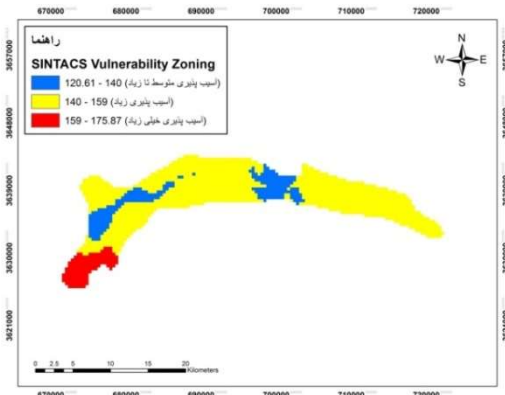


شکل ۱۰- نقشه موقعیت چاه های مشاهده ای نیترات

۱۰.۳. تحلیل حساسیت حذف نقشه

این تحلیل حساسیت توسط Lodwick و همکاران در سال ۱۹۹۰ میلادی معرفی شد. در این روش تغییرات شاخص آسیب پذیری به وسیله حذف یک یا چند لایه اطلاعاتی و به وسیله رابطه 3 محاسبه می شود. در این رابطه S میزان حساسیت، V و V' به ترتیب شاخص های آسیب پذیری تغییر نیافته و تغییر یافته، N و n به ترتیب تعداد لایه های مورد استفاده برای محاسبه V و V' می باشد. شاخص آسیب پذیری تغییر نیافته در حقیقت با استفاده از هر هفت پارامتر و شاخص آسیب پذیری تغییر یافته با تعداد کمتری از پارامترها محاسبه می شود (Rahman, 2008).

$$S = (|V/N - V'/n|) \times 100 \quad (3)$$



شکل ۱۲- نقشه آسیب پذیری آبخوان دشت بیرجند به روش SINTACS

نیز به ترتیب وزن و نرخ مربوط به آن پارامتر و V_w نیز شاخص آسیب پذیری کل در آن ناحیه است (Rahman, 2008).

$$W = (P_r \times P_w / V) \times 100 \quad (4)$$

۳. نتایج

با تلفیق ۷ نقشه معیار به کار رفته در مدل SINTACS در محیط GIS به روش هم پوشانی شاخص، شاخص های نهایی آسیب پذیری ذاتی آبخوان مورد مطالعه، محاسبه شد. بر این اساس، شاخص نهایی آسیب پذیری ذاتی، برای روش SINTACS بین ۱۲۰ تا ۱۷۶ قرار گرفت (شکل ۱۲). همچنین در این پژوهش ابتدا ضریب همبستگی بین پارامتر های مدل SINTACS محاسبه شد که طبق نتایج آزمون همبستگی یک رابطه قوی بین جنس محیط آبخوان، جنس خاک و ضریب هدایت هیدرولیکی وجود دارد که بدلیل تأثیر مستقیم این پارامترها با یکدیگر می باشد.

۲۰.۳. تحلیل حساسیت تک پارامتر

در این روش وزن واقعی یا مؤثر هر پارامتر با استفاده از رابطه 4 به دست آمده و با وزن نظری مقایسه می شود؛ که در این رابطه W ، وزن مؤثر هر یک از پارامترها، P_r و

جدول ۴- آنالیز حساسیت حذف نقشه مدل SINTACS

شاخص تغییرات آسیب‌پذیری	لایه حذف شده						
	S	I	N	T	A	C	S
حداقل	۰/۷۳۱	۰/۰۰۶۸	۱/۷۸۵	۰/۱۰۳	۰/۵۵۶	۰/۳۲۰	۰/۳۰۹
حداکثر	۱/۳۳۶	۱/۰۵۹	۳/۶۱۵	۲/۳۲۶	۱/۹۵۱	۱/۲۸۳	۱/۱۷۹
میانگین	۰/۹۵۶	۰/۶۵۷	۲/۹۳۶	۱/۵۳۴	۱/۲۵۶	۰/۸۹۹	۰/۷۸۵
انحراف از معیار	۰/۱۱۱	۰/۱۹۴	۰/۲۶۴	۰/۴۶۰	۰/۲۲۵	۰/۱۶۸	۰/۱۴۱

جدول ۵- آنالیز حساسیت حذف تک پارامتر مدل SINTACS

شاخص تغییرات آسیب‌پذیری	پارامتر حذف شده						
	S	I	N	T	A	C	S
حداقل	۱۱/۳۶۸	۲/۲۷۴	۱۹/۱۶۷	۱۱/۱۸	۱۲/۳۶۲	۱۰/۴۴	۲/۷۹
حداکثر	۱۶/۶۹۲	۳/۳۱۶	۳۱/۱۷	۲۱/۱۸۴	۲۱/۸۴	۱۶/۵۸۲	۱۵/۴۱۷
میانگین	۱۳/۸۱	۲/۶۷۲	۲۶/۰۳۱	۱۷/۶۲	۱۵/۹۵۲	۱۳/۱۲۸	۴/۹۱۱
انحراف از معیار	۰/۷۶	۰/۱۴۹	۱/۵۷۶	۲/۰۷۲	۱/۵۱	۰/۸۷۱	۲/۶۳

نظری و با توجه به اینکه بیش از ۶۰٪ لیتوژوئی منطقه اشباع، درشت‌دانه می‌باشد بیشترین تاثیر را در آلودگی آبخوان داشت بیرجند دارد (شکل ۷)؛ همچنین پارامتر عمق تا سطح ایستابی تأثیر به سزاگی در انتقال و پخشیدگی آلودگی به آب زیرزمینی دارد؛ زیرا پنهان بندی عمق آب بیانگر این بوده که قسمت غربی و جنوب غربی آبخوان دارای سطح ایستابی بالایی بوده که همین مناطق در نقشه آسیب‌پذیری دارای پتانسیل بیشتری در آلودگی آبخوان دارد (شکل ۳). از طرفی در تحلیل حساسیت‌ها می‌توان دریافت که پارامتر تغذیه

برای ارزیابی مدل و کسب اطلاعات ارزشمند از اثرات مقادیر رتبه و وزن اختصاص یافته به پارامترهای ورودی مدل SINTACS و عکس العمل مدل به تغییرات اعمالی، انجام آنالیز حساسیت کمک شایانی به ارزیابی حساسیت هر پارامتر مدل می‌کند. بدین منظور به دو روش کلی حذف لایه‌ها و آنالیز حساسیت پارامتر واحد، ارزیابی حساسیت پارامترهای مدل محاسبه گردید. در قسمت تحلیل حساسیت به دو روش حذف تک پارامتر و تک لایه نتایج بیانگر این می‌باشد که پارامترهای تاثیرگذاری مانند جنس آبخوان به دلیل بالا بودن وزن

دست آمده است؛ این مقدار همبستگی نشان می دهد که مدل SINTACS از همبستگی مناسبی با غلظت نیتراتبرخوردار می باشد. بررسی جداول ۴ و ۵ به عنوان تحلیل حساسیت پارامترهای مدل SINTACS در ارزیابی آسیب پذیری آبخوان، نشان می دهد اولاً استفاده از روش‌های مختلف تحلیل حساسیت حذف نقشه و تحلیل حساسیت تک پارامتر نتایج تقریباً مشابهی را نشان داده و روند حساسیت پارامترها در مدل یکسان می باشد. ثانیاً بر اساس این ارزیابی پارامتر سطح ایستابی آبخوان دارای بیشترین تاثیر و توپوگرافی و تغذیه خالص منطقه دارای کمترین اثر می باشند. بررسی کارهای مشابه در زمینه آسیب پذیری آبخوان Rahimzade qivi و همکاران (۲۰۱۵) در پژوهشی با عنوان تعیین قابلیت آسیب پذیری کیفی آب زیرزمینی دشت بیرجند با استفاده از مدل DRASTIC، در واسنجی مدل از روش تحلیل سلسله مراتبی استفاده نمودند که نتایج این وزندهی مشابه نتایج تحلیل حساسیت این تحقیق بود (Rahimzade qivi et al., 2015). همچنین Khozeymehnezhad و Hassanpour (۲۰۱۸) در پژوهشی با عنوان مکان یابی چاه های تغذیه جهت تغذیه مصنوعی و بهبود کیفیت آبخوان دشت بیرجند با استفاده از پساب تصفیه شده فاضلاب، وزندهی پارامترهای مورد بررسی از طریق روش ANP را انجام دادند که نتایج آنها بیانگر بیشترین وزن پارامتر هدایت هیدرولیکی بود که مقایسه آن با نتایج تحلیل حساسیت این تحقیق هم بیانگر اثر و اهمیت بالای هدایت هیدرولیکی در آسیب پذیری آبخوان می باشد که تایید کننده نتایج این تحقیق می باشد (Hassanpour &

خالص کمترین تأثیر را در انتقال آلودگی به آب زیرزمینی دارد زیرا مطابق شکل ۴ می توان دریافت که به دلیل ضعیف بودن بارش‌ها و کمبود تغذیه خالص طی دوره مطالعاتی در منطقه کمترین وزن نظری را به خود اختصاص داده است.

۴.بحث و نتیجه گیری

در پژوهش حاضر پنهانه بندی آسیب پذیری آبخوان دشت بیرجند با استفاده از یون نیترات به عنوان شاخص آلودگی ناشی از فاضلاب های شهری و پساب های کشاورزی در محیط GIS صورت گرفت. سپس با استفاده از روش SINTACS شاخص آسیب پذیری منطقه محاسبه شد. شاخص آسیب پذیری مدل SINTACS بین ۱۲۰ تا ۱۷۶ قرار گرفت. برای درک بهتر و نشان دادن وضعیت آسیب پذیری ذاتی منطقه، شاخص نهایی به دست آمده به ۳ کلاس مختلف طبقه بندی گردید. مطابق شکل ۱۲ نشان می دهد که ۱۲/۱۱ درصد از مساحت منطقه دارای آسیب پذیری در محدوده متوسط تا زیاد و ۸۰/۴۷ درصد از مساحت منطقه دارای آسیب پذیری زیاد و ۶/۷۱ درصد از مساحت منطقه دارای آسیب پذیری خیلی زیاد می باشد. جهت صحت سنجی مدل SINTACS به بررسی ارتباط بین شاخص آسیب پذیری و مقادیر غلظت نیترات به دست آمده از ۲۱ نمونه آب زیرزمینی پرداخته شده است. جهت تعیین میزان همبستگی میان لایه نیترات و لایه های شاخص SINTACS در محیط نرم افزار MATLAB همبستگی به دست آمده است. ضریب همبستگی به دست آمده بین شاخص آسیب پذیری SINTACS و غلظت نیترات ۷۱ درصد به

GODS دشت بیرجند می باشد. در مقایسه با دو مدل SINTACS و GODS نتایج همبستگی نسبت به غلظت SINTACS نیترات بیانگر این می باشد که مدل GODS همبستگی بالاتری نسبت به مدل SINTACS دارد و علت آن پارامترهای بیشتر در انتقال و پخشیدگی آلوودگی مدل SINTACS می باشد. همچنین همانگونه که نتایج تحقیق Rahimzade et al. (۲۰۱۵) نشان داد نتایج حاصل از مدل آسیب پذیری به روش DRASTIC بیانگر این بوده که مناطق غربی و جنوبی غربی آبخوان دارای آسیب پذیری متوسط به بالا و مناطق مرکزی آبخوان دارای آسیب پذیری متوسط و کم می باشد که تایید کننده نتایج حاصل از این تحقیق می باشد. با توجه به اینکه قسمت های غربی و جنوب غربی آبخوان دارای غلظت نیترات بیش از ۳۶ PPM می باشد؛ و مطابق استاندارد ۱۰۵۳ آب شرب ایران ISIRI حداقل غلظت مجاز برابر ۵۰ PPM است (۲۰۱۵, ۲۰۱۳, ۱۰۵۳)، در صورت عدم مدیریت کیفی آب های زیرزمینی، مناطقی که دارای آسیب پذیری زیاد هستند در آینده به سمت کاملاً مستعد آلوودگی خواهند رفت و مشکلات جبران ناپذیری را ایجاد خواهند کرد. همچنین با توجه به اقلیم منطقه، کمبود بارندگی، خشکسالی های اخیر، افزایش جمعیت و گسترش شهرنشینی، افزایش فعالیت های کشاورزی و صنعتی، در نتیجه افزایش آلوودگی های ناشی از فاضلاب های شهری، پساب های کشاورزی و صنعتی و در مقابل افزایش نیازمندی به آب جهت تأمین مصارف آشامیدنی این امر تنها با مشارکت مردم، کارشناسان و مدیران مربوطه تحقق خواهد یافت.

(Khozeymehnezhad, 2018). پهنه بندی محل های حفر چاه جاذب توسط Hassanpour و Khozeymehnezhad (۲۰۱۸) با رویکرد بهبود کیفیت آبخوان دشت بیرجند نشان داد که مناطقی که از نظر اولویت ضعیف تلقی می شوند مشابه نتایج تحقیق حاضر و همانگونه که در شکل ۱۲ مشخص شده دارای آسیب پذیری خیلی زیاد است. Keshavarz و همکاران (۲۰۱۴) در تحقیق دیگری با عنوان مکان یابی مناسب استحصال آب شرب با استفاده از تحلیل سلسه مراتبی فازی در آبخوان دشت بیرجند، نقشه طبقه بندی استعداد استحصال آب شرب در سطح آبخوان بیرجند با استفاده از ۵ کلاس از ضعیف تا بسیار خوب را تهیه نمودند (Keshavarz et al., 2014). بر اساس نتایج بدست آمده مناطق غربی و جنوب غربی آبخوان دارای کلاس ضعیف و مناطق شرقی آبخوان دارای کلاس بسیار خوب می باشد که در مقایسه با پهنه بندی آسیب پذیری مدل SINTACS نتایج بیانگر این بوده که مناطق ضعیف در زمینه استحصال آب شرب دارای آسیب پذیری خیلی زیاد می باشد. Shiekhvanloo (۲۰۰۷)، در ارزیابی آسیب پذیری کیفی آبخوان دشت بیرجند به روش GODS نقشه آسیب پذیری آبخوان دشت بیرجند در سه کلاس آسیب پذیری کم، آسیب پذیری متوسط و آسیب پذیری زیاد را تهیه نمود (Shiekhvanloo, 2007). بر اساس این نقشه مناطق شرقی و مرکزی آبخوان دارای آسیب پذیری کم تا متوسط و مناطق غربی و جنوب غربی آبخوان دارای آسیب پذیری زیاد می باشد که نشان دهنده عملکرد مناسب مدل SINTACS در پهنه بندی کیفی آبخوان

References:

- Ahmadi, A., Aberoumand, M. 2009. Vulnerability of Khash-Plain Aquifer, Eastern Iran, to Pollution Using Geographic Information System (GIS). Journal of Geotechnical Geology,5,1,1-11(In Persian)
- Antonakos, A.K., lambrakis., N.J. 2007.Development and testing of three hybrid methods for the assessment of aquifer Vulnerability to nitrates, based on the Drastic model, an example from NE Korinthia, Greece.journal of Hydrology,2,333,288-304.
- Brahim, F.B., Kanfir, H. Bouri, S. 2012. Groundwater Vulnerability and Risk mapping of the Northern sfax Aquifer, Tunisia".Arabian Journal for Science and Engineering, 37.5, 1405-1421.
- Civita, M . 1994. Vulnerability maps of aquifers subjected to pollution: theory and practice. Pitagora Editrice, Bologna,p325
- Ewusi, A., Ahenkorah, I., Kuma, J.2017. Groundwater Vulnerability Assessment of the Tarkwa Mining Area Using SINTACS Approach and GIS. Ghana Mining Journal,17,18-30
- Fadaei Nobandeghani, A. 2014. The evaluation of the inherent vulnerability potential of Shiraz plain aquifer using DRASTIC and COMPOSITE DRASTIC (CD) and NITRATE VULNERABILITY NV models in the GIS. Master's Thesis Shiraz University of Medical Sciences. (In Persian)
- Hassanpour, M., Khozeymehnezhad, H. 2018. Placement of nutrient wells for artificial nutrition and improvement of aquifer quality in Birjand plain using treated wastewater. Iranian Journal of Research in Environmental Health,4,3, 215-226. (In Persian)
- Huan, H., Wang, J., Teng, Y. 2012. Assessment and validation of groundwater vulnerability to nitrate based on a modified DRASTIC model: A case study in Jilin City of northeast China. Science of the Total Environment,440,1,14-23
- Institute of Standards and Industrial Research of Iran. Drinking water -Physical and chemical specifications.2015. 5th.Revision. ICS:13.060.020.(In Persian)
- Keshavarz, A., Khashei Seouki, A., Najafi, M.H.2013. Locating of Suitable Area of Pumping Drinking Water Using FAHP Method (Case Study: Birjand Aquifer).Journal of Water and Wastewater,25,3, 135-142. (In Persian)
- Kim, YJ., Hamm S.Y.1999.Assessment of the potential for groundwater contamination using the DRASTIC/EGIS technique, Cheongju area, South Korea. Hydrogeology Journal,17,2, 227-235.
- Lodwick, W.A., Monson, W., Svoboda, L. 1990. Attribute error and sensitivity analysis of map operations in geographical informations systems: suitability analysis. International Journal of Geographical Information System, 4,4, 413-428.
- Mahmoodzadeh, E., Rezaeian, S.and Ahmadi, A. 2013. Sensitivity Analysis of Groundwater Vulnerability in the Meymeh Plain of Isfahan using the DRASTIC Method.The 1st International Conference on Environmental Crisis and its Solutions. Kish Island - Islamic Azad University of Science and Research Branch of Ahwaz. (In Persian)
- Mastrocicco, M., Gianluigi, B., Kazakis, N., Colombani, N., Voudouris, K., Tedesco, D.2017. Amodified SINTACSmethod for groundwater vulnerability and pollution risk assessment in highly anthropized regions based on NO₃ and SO₄ concentrations. Science of the Total Environment,609,1512-1523
- Naseri, H.and Sareminejad, F. 2011. Comparison of the Evaluation of Aquifer Vulnerability by DRASTIC and Fuzzy Logic Models Case Study: Golgir Plain of Masjed Soleiman. Journal of Physical Geography,11,4,17-34. (In Persian)
- Pisciotta, A., Cusimano, G., Favara, R.2015. Groundwater nitrate risk assessment using intrinsic vulnerability methods: A comparative study of environmental impact by intensive farming in the Mediterranean region of Sicily, Italy. Journal of Geochemical Exploration,156,89-100
- Piscopo, G., 2001. Groundwater vulnerability map explanatory notes - Lachlan Catchment. NSW Department of Land and Water Conservation, Parramatta, NSW, Australia,14 p.

Qadir, R., Hamamin D., Saeed S.2016. Groundwater vulnerability map of Sulaymaniyah sub-basin using SINTACS model, Sulaymaniyah Governorate, Kurdistan Region, Iraq. Journal of Zankoy Sulaimani ,20,277-292

Rahimzadeh kivi, M., Hamzeh, S., Kardan Moghadam, H. 2015. Identification of Vulnerability Potential of Groundwater Quality in Birjand Plain using DRASTIC Model and its calibration using AHP. Physical Geography Research ,47.3 , 481-498. (In Persian)

Rahman, A., 2008.A Gis based Drastic model for assessing groundwater vulnerability in shallow aquifer in Aligarh. India. Applied Geography, 28.1, 32-53.

Shiekhvanloo, M.2007.Assessment of Groundwater Vulnerability Potential of Birjand plain. Dissertation for M.Sc. Degree in Hydrogeology. University of Sistan and Baluchestan.(In Persian)

Tesoriero, A.J., Inkpen E.L., Voss, F.D. 1998. Assessing ground-water vulnerability using logistic regression. Proceedings for the Source Water Assessment and Protection 98 Conference, Dallas, TX, 157– 65.

Vrba, J.,Zaporozec, A.1994. Guidebook on mapping groundwater vulnerability. International contributions to hydrogeology. 16